

PACS numbers: 61.05.Qr, 61.46.Hk, 81.07.Wx, 81.16.Pr, 81.20.Fw, 82.75.Fq, 82.80.Ej

Вплив заліза на поліморфний склад і структурні особливості твердих розчинів системи $ZrO_2 \cdot Y_2O_3 \cdot Fe_2O_3$

О. В. Пашкова, В. П. Іваницький*, К. В. Кравчик, О. І. В'юнов,
Е. В. Польшин**

*Інститут загальної та неорганічної хімії НАН України,
просп. Акад. Палладіна, 32/34,
03680, МСП, Київ-142, Україна*

**Інститут геохімії, мінералогії та рудоутворення НАН України,
просп. Акад. Палладіна, 34,
03680, МСП, Київ-142, Україна*

***Інститут металофізики ім. Г. В. Курдюмова НАН України,
бульв. Акад. Вернадського, 36,
03680, МСП, Київ-142, Україна*

Досліджено вплив оксиду заліза на поліморфний стан і тонку структуру кубічних твердих розчинів системи $(ZrO_2)_{0,9}(Y_2O_3)_{0,1-x}(Fe_2O_3)_x$. Встановлено, що йони Fe^{3+} знаходяться в октаедричних позиціях структури ZrO_2 , а гранична розчинність Fe_2O_3 в досліджуваному розрізі трійної системи складає 2 мол.%. Показано, що Fe_2O_3 не є стабілізатором високотемпературних модифікацій ZrO_2 , але суттєво збільшує ефективність Y_2O_3 як стабілізатора структури в часі за рахунок можливого утворення сполуки $Y-Fe-O$, ізоморфної $c-ZrO_2$.

Influence of the iron oxide on a polymorphic state and thin structure of cubic solid solutions of $(ZrO_2)_{0,9}(Y_2O_3)_{0,1-x}(Fe_2O_3)_x$ system is studied. As revealed, the Fe^{3+} ions are located in the octahedral sites of ZrO_2 structure, and Fe_2O_3 limit solubility in the investigated section of ternary system is 2 mol.%. As shown, Fe_2O_3 is not a stabilizer of high-temperature ZrO_2 modifications, however, essentially increases efficiency of Y_2O_3 as the structure stabilizer due to possible formation of $Y-Fe-O$ compound, which is isomorphous to $c-ZrO_2$.

Изучено влияние оксида железа на полиморфное состояние и тонкую структуру кубических твердых растворов системы $(ZrO_2)_{0,9}(Y_2O_3)_{0,1-x}(Fe_2O_3)_x$. Установлено, что ионы Fe^{3+} находятся в октаэдрических позициях структуры ZrO_2 , а предельная растворимость Fe_2O_3 в исследованном разрезе тройной системы составляет 2 мол.%. Показано, что Fe_2O_3 , не являясь стабилизатором высокотемпературных модификаций ZrO_2 , существенно увеличивает

ефективність Y_2O_3 как стабилизатора структуры за счет возможного образования соединения $Y-Fe-O$, изоморфной $c-ZrO_2$.

Ключові слова: нанорозмірний порошок, Мессбаверові спектри, рентгенофазова аналіза, поліморфний стан, розчинність заліза, стабілізація структури.

(Отримано 28 листопада 2007 р.)

1. ВСТУП

Діоксид цирконію ZrO_2 та матеріали, одержані на його основі, застосовуються для вирішення широкого кола прикладних та наукових задач, в тому числі для виготовлення паливних елементів, що дозволяють перетворювати теплову енергію в електричну, та інших пристроїв, що експлуатуються при високих температурах [1–3]. Властивості матеріалів, синтезованих на основі нанорозмірних порошоків ZrO_2 , та області застосування їх в технічних пристроях суттєво залежать від елементного та кількісного складу домішок у вихідних матеріалах та умов оброблення останніх [4–6].

Актуальність вивчення системи $ZrO_2 \cdot Y_2O_3 \cdot Fe_2O_3$ пов'язана з можливостями розроблення на її основі твердих електролітів з провідністю по кисню [7, 8]. Часткове заміщення йонів Y^{3+} на менші за розміром Fe^{3+} знижує температуру спікання кераміки [9] і сприяє покращенню умов транспорту йонів O^{2-} [10]. Стабільність електрофізичних властивостей твердих електролітів при різних умовах зовнішнього впливу пов'язується при цьому з одержанням повністю стабілізованого діоксиду цирконію з кубічною (*c*) кристалічною ґратницею типу флюориту (CaF_2), в якому була б відсутня моноклінна (*m*) фаза [11]. Успішному вирішенню цієї задачі перешкоджає відсутність вивірених уявлень про механізми стабілізації і дестабілізації високотемпературних модифікацій ZrO_2 . Вивчення поліморфізму та структурних особливостей систем на основі ZrO_2 в залежності від умов термооброблення і хемічного складу — шлях до успіху в подоланні проблеми.

В зв'язку з вищесказаним викликає інтерес дослідження часткового заміщення йонів Y^{3+} в кубічних структурах $(ZrO_2)_{0.9}(Y_2O_3)_{0.1}$ йонами Fe^{3+} .

Мета даної роботи — вивчення структурних особливостей твердих розчинів, що знаходяться в межах передбачуваних концентрацій легуючих оксидів для кристалізації однофазового $c-ZrO_2$ і відповідають складу $(ZrO_2)_{0.9}(Y_2O_3)_{0.1-x}(Fe_2O_3)_x$.

2. ОБ'ЄКТИ І МЕТОДИ ДОСЛІДЖЕНЬ

Об'єкти досліджень — порошокподібні нанорозмірні зразки, що відповідають сполукам $(ZrO_2)_{0.9}(Y_2O_3)_{0.1-x}(Fe_2O_3)_x$ ($x = 0, 0,01, 0,015, 0,02, 0,03, 0,04$ і $0,05$). Оксиди одержували відпалом системи гідроксидів

$ZrO(OH)_2$, $Y(OH)_3$ і $FeOOH$, осаджених із концентрованих розчинів $ZrOCl_2$, $Y(NO)_3$ і $Fe(NO)_3$ розчином аміаку. Осадження проводили в дві стадії: спочатку сумісно осаджували $ZrO(OH)_2$ і $FeOOH$, а потім — $Y(OH)_3$. Осади фільтрували і відмивали від маточного розчину дистильованою водою до відсутності в відмивних водах йонів Cl^- і NO_3^- та висушували при температурі 353 К. Одержані ксерогелі прожарювали в камерній печі в інтервалі температур 1223–1623 (± 1) К.

Вміст заліза визначали на атомово-абсорбційному спектрометрі SP9 фірми Pye Unicom ($\lambda = 248,3$ нм, ширина щілини = 0,2 нм, полум'я — ацетон + повітря), а цирконію та ітрію — за методикою [12].

Для досліджень методами рентгенофазової (РФА) та повнопрофільної Рентгенової аналіз використовували дифрактометр ДРОН-3М (CuK_α -випромінювання). Знімання проводили в дискретному режимі з кроком $0,02^\circ$ при часі експозиції в кожній точці 10 с. В якості зовнішніх стандартів використовували SiO_2 (стандарт 2 θ) та сертифікований стандарт інтенсивності Al_2O_3 [13]. Для РФА застосовували базу даних PDF.

Кількісний РФА проводили шляхом оцінки інтегральної інтенсивності рефлексів визначуваних фаз з використанням рівнянь для розділення поліморфних модифікацій ZrO_2 [14].

Структурні параметри уточнювали методом повнопрофільної Рітвельдової аналізи з використанням комп'ютерної програми FullProf.

Мессбаверові спектри (МС) одержували при кімнатній температурі на спектрометрі електродинамічного типу, що працює в режимі постійних прискорень. Джерело γ -квантів — ^{57}Co в матриці Rh активністю 10 мКи. Мінімальна ширина ліній вбирання в стандартному зразку нітропрусиду натрію — 0,24 мм/с. Два симетричних спектри, одержані при експозиції зразків на 512 каналах аналізатора, підсумовувались і оброблялись з допомогою програми Univem2 за методом найменших квадратів. Для калібрування шкали швидкості в залежності від діапазону вимірів використовували α -Fe чи нітропрусид натрію. Ізомерні зсуви приведені відносно останнього. Як допоміжні інструменти при моделюванні і вивченні профілю сумарних МС застосовували програми звуження ліній вбирання [15] та аналізу функцій розподілу ізомерного зсуву і квадрупольного розщеплення (програма DISTRY) [16].

3. ЕКСПЕРИМЕНТАЛЬНІ РЕЗУЛЬТАТИ ТА ЇХ ОБГОВОРЕННЯ

3.1. Рентгенова діагностика фаз і параметрів елементарної комірки

Фазовий склад зразків $(ZrO_2)_{0,9}(Y_2O_3)_{0,1-x}(Fe_2O_3)_x$ ($x = 0,01-0,05$), відпалених при температурах 1223, 1473 і 1623 К, приведений в табл. 1. Аналіза одержаних даних свідчить, що основна фаза вищезгадува-

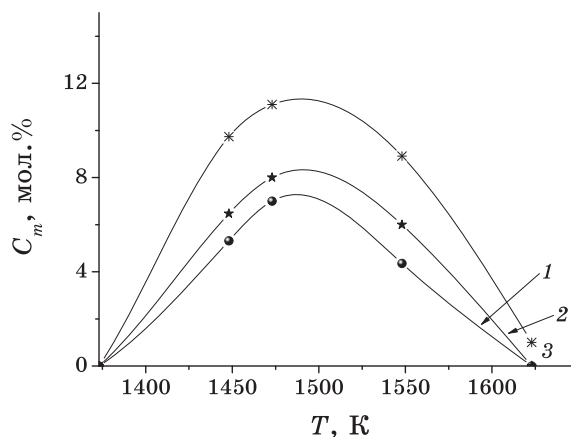


Рис. 1. Залежність від температури відпалу вмісту моноклінної модифікації ZrO_2 (C_m) в $(ZrO_2)_{0.9}(Y_2O_3)_{0.1-x}(Fe_2O_3)_x$ для зразків з вмістом $x = 0,03$ — крива 1, 0,04 — 2, 0,05 — 3.

ТАБЛИЦЯ 1. Фазовий склад зразків $(ZrO_2)_{0.9}(Y_2O_3)_{0.1-x}(Fe_2O_3)_x$ в залежності від вмісту Fe_2O_3 (x) і температури відпалювання за результатами РФА.

№ п/п	T, K	$x = 0,01$	$x = 0,02$	$x = 0,03$	$x = 0,04$	$x = 0,05$
1	1223	$c-ZrO_2$ (100)*	$c-ZrO_2$ (100)	$c-ZrO_2$ (100)	$c-ZrO_2$ (99) $\alpha-Fe_2O_3$ (1)	$c-ZrO_2$ (97.7) $\alpha-Fe_2O_3$ (2.3)
2	1373	$c-ZrO_2$ (100)	$c-ZrO_2$ (100)	$c-ZrO_2$ (98.7) $\alpha-Fe_2O_3$ (1.3)	$c-ZrO_2$ (98,2) $\alpha-Fe_2O_3$ (1,8)	$c-ZrO_2$ (94.7) $m-ZrO_2$ (3.7) $\alpha-Fe_2O_3$ (1.6)
3	1473	$c-ZrO_2$ (100)	$c-ZrO_2$ (100)	$c-ZrO_2$ (88) $m-ZrO_2$ (10.3) $\alpha-Fe_2O_3$ (1.7)	$c-ZrO_2$ (89) $m-ZrO_2$ (8.3) $\alpha-Fe_2O_3$ (2.7)	$c-ZrO_2$ (83) $m-ZrO_2$ (14) $\alpha-Fe_2O_3$ (3)
4	1673	$c-ZrO_2$ (100)	$c-ZrO_2$ (100)	$c-ZrO_2$ (100)	$c-ZrO_2$ (98) $\alpha-Fe_2O_3$ (2)	$c-ZrO_2$ (94) $m-ZrO_2$ (4) $\alpha-Fe_2O_3$ (2)

*В дужках — кількісний склад фази в %, визначений шляхом оцінки інтегральної інтенсивності її Рентгенових рефлексів.

них зразків наведена кубічним діоксидом цирконію ($c-ZrO_2$) зі структурою флюориту. Однофазність зразків по $c-ZrO_2$ реалізується при температурах 1223–1573 К для сполук, що відповідають значенням $x = 0-0,02$. Зі збільшенням $x \geq 0,03$ і температури відпалення до 1623 К зафіксовані малоінтенсивні рефлекси домішкових фаз $\alpha-Fe_2O_3$ і $m-ZrO_2$. Тетрагональна фаза ($t-ZrO_2$) на дифрактограмах не виявлена.

Залежність вмісту $m-ZrO_2$ в зразках, що відповідають значенням $x = 0,03, 0,04$ і $0,05$, від температури прожарювання показано на

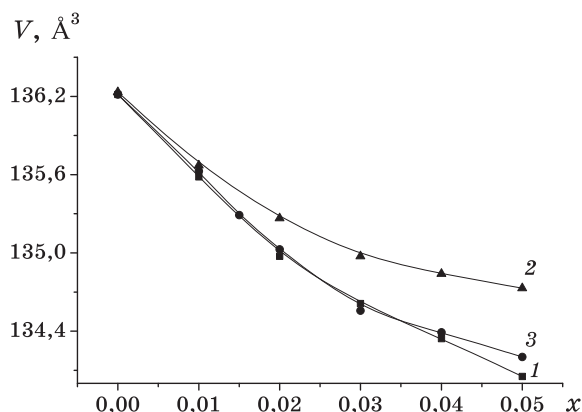


Рис. 2. Залежність від температури відпалу об'єму елементарної комірки зразків $(ZrO_2)_{0,9}(Y_2O_3)_{0,1-x}(Fe_2O_3)_x$: 1 — 1223 К, 2 — 1473 К, 3 — 1623 К.

рис. 1. Характер наведених кривих дозволяє зробити висновок: в процесі термооброблення зразків в області температур ~ 1373 – 1473 К спостерігається збільшення вмісту m - ZrO_2 , а при більш високих температурах — його зменшення, що свідчить про наростання процесів дестабілізації діоксиду цирконію в першій області температур і їх загасання — в другій.

Залежності об'єму елементарної комірки (V) від концентрації α - Fe_2O_3 (x) для зразків, відпалених за температур 1223, 1473 і 1673 К, відповідають Вегардовому правилу в області складів $x = 0$ – $0,02$ та $0,03$ – $0,05$ (рис. 2). Це свідчить про утворення в системі твердого розчину заміщення $Fe^{3+} \rightarrow Y^{3+}$ ($r_{Y_{к.ч.6}}^{3+} = 0,892$ Å, $r_{Fe_{к.ч.6}}^{3+} = 0,645$ Å) в катіонній підґратниці. Перегини, що спостерігаються на залежностях при $x > 0,02$, ймовірно, пов'язані з сегрегацією Fe_2O_3 на границях зерен і, отже, зі зменшенням концентрації Fe^{3+} в кристалічній ґратниці c - ZrO_2 , що відповідає даним РФА (див. табл. 1). Відповідно цим даним, розчинність Fe_2O_3 в досліджуваному інтервалі складів становить 2 мол. % за температури 1473 К і 3 мол. % за температури 1673 К.

3.2. Мессбаверова спектроскопія на ядрах ^{57}Fe

Мессбаверова спектроскопія — пряма метода дослідження стану Fe в залізовмісних сполуках, який дозволяє діагностувати його валентний стан, координацію, магнетні властивості, розподіл по фазам та структурним позиціям. Можливості методи нами використано для діагностики залізовмісних фаз та кристалохемічних особливостей стану заліза в їх структурі, уточнення механізму та межі розчинності Fe_2O_3 в ZrO_2 . Вивчалися зразки $(ZrO_2)_{0,9}(Y_2O_3)_{0,08}(Fe_2O_3)_{0,02}$ і $(ZrO_2)_{0,9}(Y_2O_3)_{0,07}(Fe_2O_3)_{0,03}$, відпалені при температурах 1473 і 1623 К

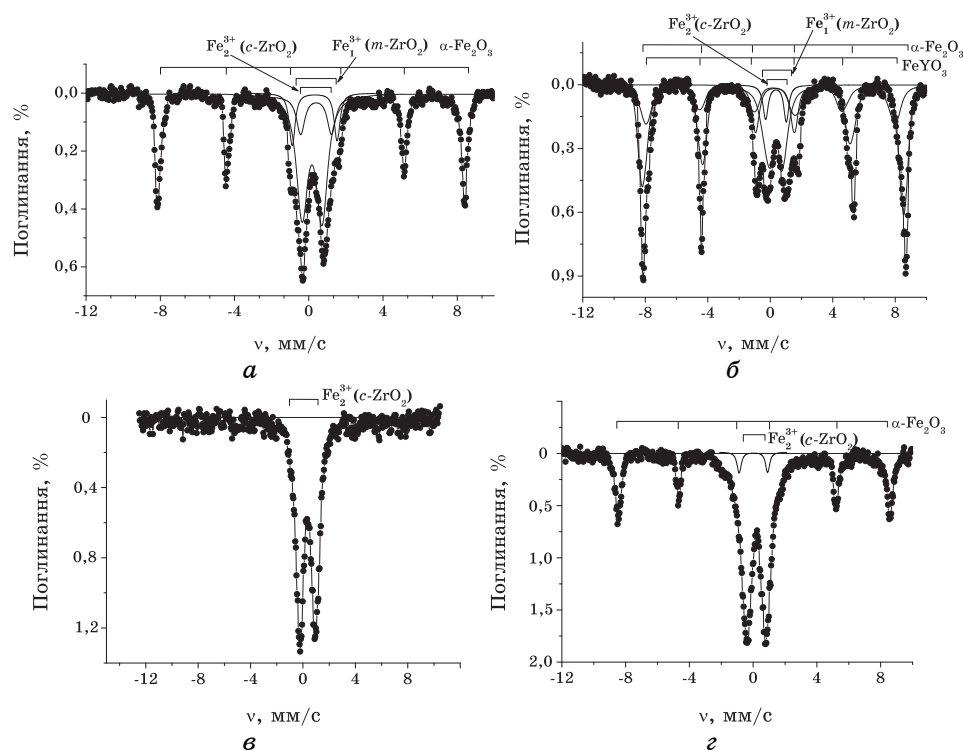


Рис. 3. МС, одержані у магнетному діапазоні вимірів для зразків 1 (а), 2 (б), 1* (в) і 2* (г).

(зразки 1, 2 і 1*, 2* відповідно). Результати хемічної аналізи зразків в межах похибки методи підтвердили відповідність фактичного складу заданому.

МС зазначених зразків показані на рис. 3, а їх параметри наведені в табл. 2. Треба відзначити малочисельність мессбаверових досліджень систем на основі ZrO_2 [14, 17–19], їх різноплановість та неоднозначність висновків, які не дають підстав для використання їх в якості стандартів при моделюванні та інтерпретації МС наших зразків.

МС вивчених зразків відповідно до рис. 3, а–г подані: суперпозицією секстету магнетного розщеплення та двох різноінтенсивних дублетів квадрупольного розщеплення з рівними значеннями інтенсивностей та напівширин ліній вбирання в кожному з них — зразок 1; суперпозицією двох секстетів та двох дублетів — зразок 2; розширеним дублетом — зразок 1*; аналогічним квадрупольним дублетом та магнетним секстетом — зразок 2*. На основі відповідності одержаних параметрів опублікованим даним для оксидів заліза [20] та Fe–Y–O-сполук [21], секстети зі значеннями $H_{\text{еф}} = 510$ –

ТАБЛИЦЯ 2. Параметри МС, одержаних на магнетному діапазоні вимірів зразків 1 — $(ZrO_2)_{0.9}(Y_2O_3)_{0.08}(Fe_2O_3)_{0.02}$ і 2 — $(ZrO_2)_{0.9}(Y_2O_3)_{0.07}(Fe_2O_3)_{0.03}$, відпалених при різних температурах.

Зразок	T, К	Йон, фаза	$H_{\text{эф}}$, кЕ	І.З., мм/с	К.Р., мм/с	Γ , мм/с	S, %
1	1473	$\alpha\text{-Fe}_2\text{O}_3$	510	0,64	0,21	0,27	39
		Fe_1^{3+} (<i>m</i> - ZrO_2)	0	0,70	1,77	0,55	10
		Fe_2^{3+} (<i>c</i> - ZrO_2)	0	0,63	1,10	0,63	51
1*	1623	(<i>c</i> - ZrO_2)	0	0,60	1,17	0,65	100
2	1473	$\alpha\text{-Fe}_2\text{O}_3$	514	0,64	0,21	0,31	44
		$YFeO_3$	493	0,53	0,04	0,45	28
		Fe_1^{3+} (<i>m</i> - ZrO_2)	0	0,66	1,58	0,38	6
		Fe_2^{3+} (<i>c</i> - ZrO_2)	0	0,65	0,97	0,63	22
2*	1623	$\alpha\text{-Fe}_2\text{O}_3$	510	0,61	0,2	0,36	29
		Fe^{3+} (<i>c</i> - ZrO_2)	0	0,63	1,18	0,67	71

Примітка. $H_{\text{эф}}$ — ефективне магнетне поле; І.З. — ізомерний зсув відносно нітропрусида натрію; К.Р. — квадрупольне розщеплення; Γ — ширина лінії вбирання на половині висоти; S — відносна площа компоненти. При допущенні рівності коефіцієнтів резонансного вбирання йонів заліза в усіх залізовмісних фазах чи структурних позиціях значення S дорівнює концентрації Fe^{3+} , %. Похибки вимірів І.З., К.Р. і Γ — $\pm 0,04$ мм/с, $H_{\text{эф}}$ — ± 5 кЕ, S — $\leq 10\%$.

514 кЕ і $H_{\text{эф}} = 493$ кЕ нами приписані резонансному вбиранню на ядрах йонів Fe^{3+} в структурах гематиту ($\alpha\text{-Fe}_2\text{O}_3$) та ортофериту ($YFeO_3$) відповідно (див. рис. 3, табл. 2). Компонентний склад сумарних спектрів зразків 1 і 2 встановлений за допомогою оброблення спектрів програмами із [15, 16].

У відповідності до експериментально встановленої залежності ізомерного зсуву та квадрупольного розщеплення різновалентних та різнокоординованих йонів заліза [22] виділені дублети Fe_1^{3+} і Fe_2^{3+} , приписані нами резонансному вбиранню гама-квантів на ядрах високоспінових октаедрично координованих йонів Fe^{3+} . Неприйнятність для Fe^{3+} восьмивимірної координації, властивої для базового катіона Zr^{4+} , пов'язана з розмірним та енергетичним факторами, які зумовлені меншими розмірами йона Fe^{3+} порівняно з Zr^{4+} і Y^{3+} та прагненням ґратниці до електроневтральності. Нейтралізація від'ємного заряду при реалізації можливих схем катіонного заміщення $2Zr^{4+} \rightarrow 2Y^{3+}$, $2Zr^{4+} \rightarrow 2Fe^{3+}$ чи $2Zr^{4+} \rightarrow Y^{3+} + Fe^{3+}$ забезпечується видаленням одного йона O^{2-} із аніонного поліедра [23].

Збільшення електростатичної взаємодії між йонами O^{2-} в аніонному поліедрі при зменшенні міжатомових віддалей в процесі заміщень $Y^{3+} \rightarrow Fe^{3+}$ сприяє формуванню октаедричної координації катіонів Fe^{3+} [24]. Наявність двох дублетів в МС зразків 1 і 2, пов'язаних з розчиненими в ZrO_2 йонами Fe^{3+} , може бути пояснена

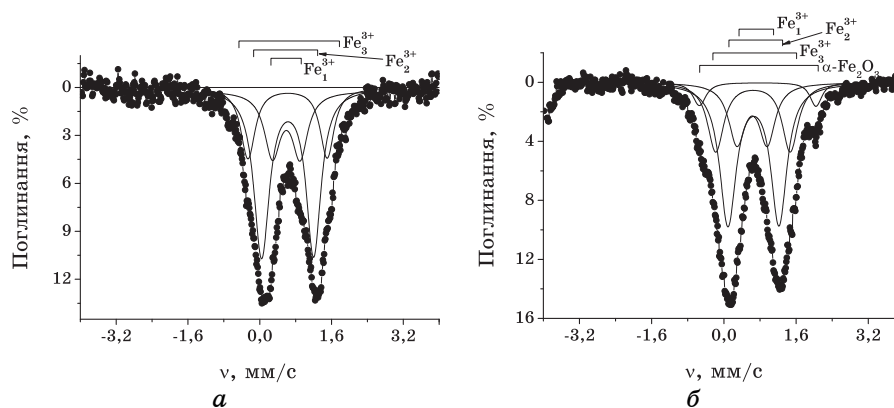


Рис. 4. МС, одержані у парамагнетнім діяпазоні вимірів для зразків 1* (а) і 2* (б).

наявністю в складі досліджуваної речовини або декількох залізо-вмісних фаз, або структурно нееквівалентних позицій резонансних йонів. Як витікає з даних РФА про присутність в зразках двох модифікацій оксиду цирконію (табл. 1), доцільно пов'язати спостережувані дублети з цими модифікаціями.

Із таблиці 1 видно, що зразок із вмістом 3 мол. % Fe_2O_3 ($x = 0,03$) після відпалення при температурі 1473 К характеризується наявністю двох модифікацій діоксиду цирконію ($m\text{-ZrO}_2$ і $c\text{-ZrO}_2$) і 100% $c\text{-ZrO}_2$ — після оброблення при температурі 1623 К. Вказаним модифікаціям ZrO_2 у МС можуть бути зіставлені дублети Fe_1^{3+} і Fe_2^{3+} (табл. 3, зразок 2). Аналогічне співставлення дублетів, вочевидь, справедливе і для зразка 1, який вміщує 2 мол. % Fe_2O_3 ($x = 0,02$). Підставою для цього є близькість параметрів відповідних дублетів у МС зразків 1 і 2 та 1* і 2* (табл. 2). Дублет Fe_1^{3+} , порівняно з Fe_2^{3+} , характеризується більш високими значеннями квадрупольного розщеплення, що може бути пов'язане з наявністю істотних геометричних викривлень координаційних поліедрів резонансних йонів та нерівноцінністю катіонного оточення. Відсутність на дифрактограмах зразка з $x = 0,02$ рефлексів фази $m\text{-ZrO}_2$ може бути пояснена незначною її присутністю в ТР або ж її рентгеноаморфністю, зумовленою більш високою дисперсністю та дефектністю структури порівняно зі зразком з $x = 0,03$. Аналогічно пояснюється відсутність на рентгенограмах зразка 2 рефлексів фази YFeO_3 .

Для збільшення роздільної здатності МС зразків 1* і 2* та розділення вищезгаданих розширених дублетів на компоненти ми одержали МС у парамагнетнім діяпазоні вимірів. Одержані МС, які показано на рис. 4, були оброблені за допомогою програм із [15] і [16]. Результати оброблення продемонстровано на рис. 5. Із профілю розподілу ізомерного зсуву випливає необхідність розділення розширених

ТАБЛИЦЯ 3. Параметри МС, одержаних у парамагнетнім діапазоні вимірів.

Зразок	Йон, фаза	І.З., мм/с	К.Р., мм/с	Г, мм/с	S, %
1*	Fe_1^{3+}	0,60	0,61	0,41	21
	Fe_2^{3+}	0,64	1,16	0,41	57
	Fe_3^{3+}	0,63	1,74	0,42	22
2*	$\alpha-Fe_2O_3$	0,75	2,55	0,22	32
	Fe_1^{3+}	0,61	0,64	0,41	12
	Fe_2^{3+}	0,64	1,12	0,47	41
	Fe_3^{3+}	0,64	1,67	0,43	15

Примітка. Позначення ті ж, що і в табл. 2.

дублетів обох спектрів на три дублети. Ці дані, як початкові, використано при обробленні МС методом найменших квадратів. Результати показано на рис. 4, а параметри виділених дублетів наведено в табл. 3.

МС зразка 1* (рис. 4, а) описується трьома дублетами квадрупольного розщеплення Fe_1^{3+} , Fe_2^{3+} і Fe_3^{3+} з близькими значеннями І.З. та суттєво різними К.Р. Параметри виділених дублетів властиві для високоспінових йонів Fe^{3+} в октаедричній координації [22]. Істотна відмінність К.Р. дублетів пов'язується з різницею ступеня викривлення їх координаційних поліедрів. Збільшення К.Р. від дублету Fe_1^{3+} до Fe_3^{3+} відповідає збільшенню викривлення поліедрів.

МС зразка 2* (рис. 4, б) також подано трьома дублетами, параметри яких близькі до параметрів зразка 1*. Останнє свідчить про єдину природу ліній вбирання в спектрах обох зразків. Четвертий дублет з площею 5,4% в МС зразка 2* відповідає внутрішнім (3-й і 4-й) лініям магнетного секстету Fe^{3+} в структурі гематиту, площа якого з урахуванням всіх ліній вбирання становить приблизно 32%. Це значення у межах експериментальної похибки співпадає з одержаним із МС цього зразка у магнетному діапазоні вимірів (див. табл. 2, зразок 2*).

Наявність трьох дублетів можна пояснити утворенням у ТР декількох фаз різного складу або впливом варіацій хемічного складу другої катіонної координаційної сфери на резонансні катіони Fe^{3+} в межах однієї структури. Згідно з результатами РФА (табл. 1), у зразках 1* і 2* виявлено тільки одну фазу — $c-ZrO_2$. Тому тридублетність МС зразків 1* і 2* доцільно пов'язати з проявом впливу другої катіонної сфери, тобто з різними комбінаціями структуроутворюючих катіонів Zr^{4+} , Y^{3+} і Fe^{3+} . Площі під дублетами у такому разі повинні залежати від характеру розподілу легувальних катіонів в структурі ZrO_2 .

Так, згідно з результатами електронної мікроскопії високого розрізнення, в бінарній системі $ZrO_2-Fe_2O_3$ спостерігається класте-

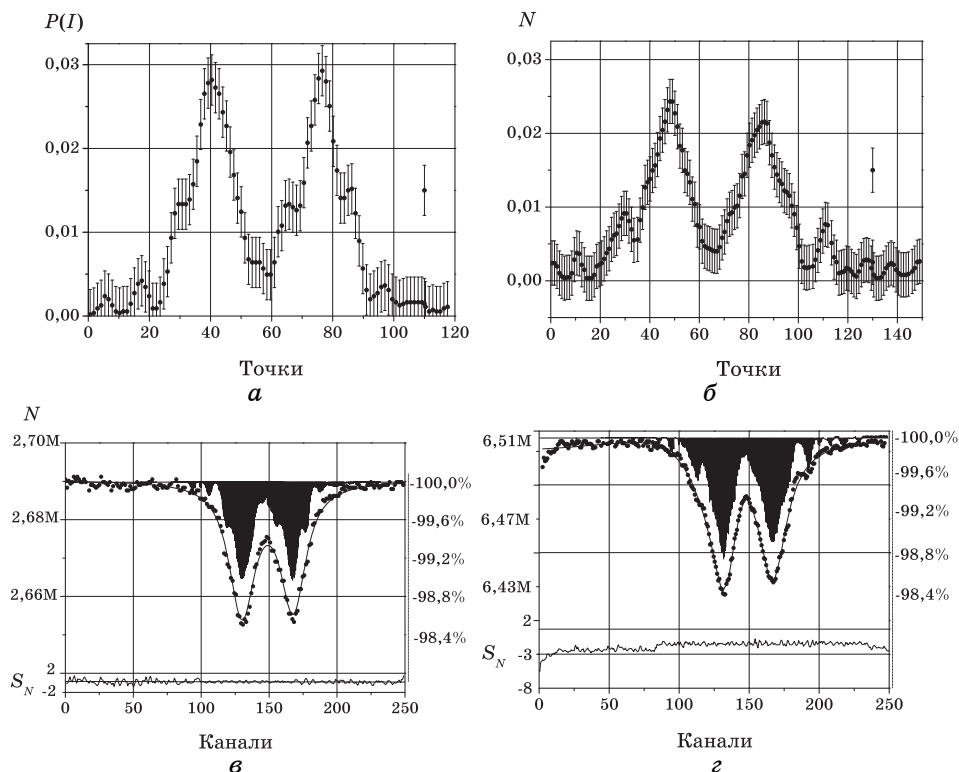


Рис. 5. Результати оброблення МС з допомогою функції розподілу ізомерного зсуву (а) і сама функція (б) для зразків 1* (I) і 2* (II).

різація йонів Fe^{3+} [25]. Але наші дослідження поки що не дають підстав для однозначних висновків про характер розподілу цих елементів у досліджених ТР. З урахуванням нанорозмірів досліджуваних порошоків не можна також відкидати припущення, що складна структура МС може бути пов'язана з впливом розвинутої поверхні.

3.3. Розчинність Fe_2O_3 в структурі ZrO_2 і його роль в стабілізації цієї структури

Як впливає з результатів Мессбаверової спектроскопії, залізо при деяких умовах синтези схильне до розчинення в обох визначених m - і s -модифікаціях діоксиду цирконію. Враховуючи кількість кожної із поліморфних модифікацій в ТР на основі ZrO_2 (табл. 1) і вміст в них заліза (табл. 2), легко порівняти їх розчинну здатність та розрахувати межу розчинності Fe^{3+} в них. Таке порівняння дозволяє стверджувати: розчинність заліза в m -модифікації ТР приблизно в два ра-

зи вища, ніж в $c\text{-}ZrO_2$. Більшу розчинну здатність $m\text{-}ZrO_2$ йонів Fe^{3+} підтверджують дані роботи [26], де в зразках на основі бінарної системи $ZrO_2\text{-}Fe_2O_3$ (вміст Fe_2O_3 до 10 мол.%, $T = 1773$ К) зафіксовано наявність тільки $m\text{-}ZrO_2$, а в зразках з більшим вмістом Fe_2O_3 — також фази $\alpha\text{-}Fe_2O_3$. Виходячи із вищенаведених та наших опублікованих [14] даних, можна стверджувати, що здатність кристалічної ґратниці ZrO_2 до розчинення $\alpha\text{-}Fe_2O_3$ обмежена, а оксид заліза не є стабілізатором високотемпературних модифікацій діоксиду цирконію.

Однак, із порівняльної аналізи термічних поліморфних перетворень прекурсорів однієї природи (гідроксидів) в бінарній $ZrO_2\text{-}Y_2O_3$ [27] і потрійній $ZrO_2\text{-}Y_2O_3\text{-}Fe_2O_3$ [14] системах витікає, що в останній домішки заліза сприяють стабілізації діоксиду цирконію, істотно збільшуючи ефективність Y_2O_3 як стабілізатора. Так, у бінарній системі з вмістом 2 мол.% Y_2O_3 стабілізація високотемпературних модифікацій не спостерігалася [27], а в потрійній системі з таким же вмістом Y_2O_3 , але доповненій 2 мол.% Fe_2O_3 , мала місце часткова стабілізація ZrO_2 з утворенням не більше 4–5 мол.% $m\text{-}ZrO_2$ [14]. Як видно із табл. 1 і результатів [14], Fe_2O_3 в потрійній системі сприяє стабілізації $c\text{-}ZrO_2$.

Результати виконаних Мессбаверових досліджень дозволяють оцінити межу розчинності Fe_2O_3 в ТР на основі ZrO_2 і, як слідує із літературних джерел, пов'язати її з присутністю Y_2O_3 в системі. Виходячи із складу парамагнетних компонент Fe^{3+} в сумарний спектр зразка 2*, який становив 68% (табл. 3), розчинність Fe_2O_3 в $c\text{-}ZrO_2$ склала 2,04 мол.% при введеній кількості 3 мол.%. При цьому 32% Fe (0,96 мол.% Fe_2O_3) утворює самостійну фазу $\alpha\text{-}Fe_2O_3$. Отже, гранична розчинність Fe_2O_3 в потрійній системі $(ZrO_2)_{0,9}(Y_2O_3)_{0,1-x}(Fe_2O_3)_x$ при вмісті Y_2O_3 7 мол.% складає ~ 2 мол.%. Зі збільшенням Y_2O_3 до 10 мол.% розчинність Fe_2O_3 в ZrO_2 збільшується до 4 мол.% [8]. Таким чином, розчинність Fe_2O_3 в кристалічній ґратниці ZrO_2 збільшується зі збільшенням вмісту Y_2O_3 . Причина стабілізуючого впливу домішок Fe_2O_3 на $c\text{-}ZrO_2$ тільки в присутності Y_2O_3 може бути пов'язана з проявом стеричного фактору або з утворенням в системі стабілізуючої сполуки оксидів ітрію і заліза. Також існує уявлення [24, 28], що вирішальна роль в механізмі стабілізації високотемпературних модифікацій ZrO_2 пов'язана зі зменшенням електростатичного відштовхування між йонами кисню за рахунок гетеровалентного заміщення йонів Zr^{4+} на йони більшого розміру інших елементів (Y^{3+} , Ca^{2+} , Ce^{4+}), що супроводжується збільшенням періоду кристалічної ґратниці. Проте, це твердження не узгоджується з результатами наших досліджень. Зі збільшенням ступеня заміщення йонів Y^{3+} на Fe^{3+} і утворення однофазового розчину об'єм елементарної комірки ZrO_2 зменшується (див. рис. 3). Виходячи з цих розбіжностей та скориставшись опублікованими даними [29], ми провели аналіз впливу стеричного фактору на поліморфний стан при кімнатній темпера-

турі ТР на основі $\text{ZrO}_2\text{-Y}_2\text{O}_3$.

У відповідності з розрахунками, кожна із трьох поліморфних модифікацій ТР бінарної системи реалізується при таких значеннях середнього йонного радіуса катіона: $m\text{-ZrO}_2$ при $\bar{r}_c = 0,84\text{--}0,85$ Å; $t\text{-ZrO}_2$ при $\bar{r}_c = 0,857\text{--}0,86$ Å; $c\text{-ZrO}_2$ при $\bar{r} \geq 0,87$ Å. Для досліджуваної системи $(\text{ZrO}_2)_{0.9}(\text{Y}_2\text{O}_3)_{0.1-x}(\text{Fe}_2\text{O}_3)_x$ зі структурою $c\text{-ZrO}_2$ значення \bar{r} змінюється в межах $0,837\text{--}0,86$ Å, що відповідає \bar{r} , характерному для $m\text{-ZrO}_2$ та $t\text{-ZrO}_2$ модифікацій в бінарній системі, але не $c\text{-ZrO}_2$. Таким чином, поряд з незаперечним впливом розмірного фактору на стабілізацію високотемпературного ZrO_2 , є очевидним вплив і інших факторів. На нашу думку, стабілізація $c\text{-ZrO}_2$ в системі $\text{ZrO}_2\text{-Y}_2\text{O}_3\text{-Fe}_2\text{O}_3$ може бути обумовлена утворенням хемічної сполуки, ізоморфної з $c\text{-ZrO}_2$. Утворення двох сполук ортофериту YFeO_3 зі структурою перовскіту та феррогранату $\text{Y}_3\text{Fe}_5\text{O}_{12}$ встановлено при дослідженні бінарної системи $\text{Y}_2\text{O}_3\text{-Fe}_2\text{O}_3$ при термообробленні ксерогелів (гідроксидів та алкоголятів) [30, 31].

Наявність фази ортофериту YFeO_3 на МС зразків $(\text{ZrO}_2)_{0.9}(\text{Y}_2\text{O}_3)_{0.7}(\text{Fe}_2\text{O}_3)_{0.03}$, відпалених при температурі 1473 К, та її відсутність після термооброблення при 1673 К вказує на повну її розчинність в $c\text{-ZrO}_2$ (рис. 3, табл. 2). Відомо [31], що YFeO_3 з гексагональною елементарною коміркою ($V = 125,12$ Å³), яка легко трансформується в ромбоєдричну того ж об'єму з кутом Y-Y-Y в 60° , утворюється при термообробленні ксерогелів в інтервалі $T = 993\text{--}1073$ К. З підвищенням температури до $1153\text{--}1203$ К гексагональна комірка трансформується в орторомбічну. При високих температурах YFeO_3 може переходити в кубічний, при цьому ромбоєдрична фаза є проміжною між ромбічною та кубічною [32]. Для гранецентрованої кубічної ґратниці типу CaF_2 властивий примітивний паралелепіпед повторюваності у формі гострого ромбоєдру з кутом 60° [33]. Враховуючи вищенаведене та близькі розміри об'ємів кристалічної ґратниці $c\text{-ZrO}_2$ (див. рис. 2) і H-YFeO_3 можна говорити про їх ізоморфність. Це також може бути однією з причин наявності тридублетності МС зразків 1* і 2*, що пояснювалось вище можливим проявом впливу другої катіонної сфери на Fe^{3+} .

Здатністю до розчинності та можливостями переходу в різні модифікації фази YFeO_3 , що була ідентифікована нами в МС зразка 2, можливо пояснити роль Y як стабілізатора високотемпературних фаз ZrO_2 . Із аналізу результатів (табл. 1, 2) випливає, що гексагональний H-YFeO_3 може утворювати тверді розчини з ZrO_2 при порівняно низьких температурах, що сприяє формуванню широкої області $c\text{-ZrO}_2$. Дестабілізація $c\text{-ZrO}_2$ в зразках з вмістом ≥ 3 мол. % Fe_2O_3 (рис. 1) в інтервалі температур $1373\text{--}1473$ К, вірогідно, є обумовленою сегрегацією незв'язаних йонів Y^{3+} і Fe^{3+} на межі зерна [33], а стабілізація за температур вище 1473 К — розчиненням утвореного на цій межі YFeO_3 в кристалічній ґратниці $c\text{-ZrO}_2$. Це узгоджується зі

зміною об'єму кристалічної ґратниці $c\text{-}ZrO_2$ для зразків з різними температурами термооброблення (рис. 3). На наш погляд, утворення зв'язку Y–Fe з більшим ступенем ковалентності порівняно з Y–O може завадити сегрегації Y_2O_3 на межі зерна і, отже, дестабілізуючому фазовому переходу $c\text{-}ZrO_2 \rightarrow t\text{-}ZrO_2 \rightarrow m\text{-}ZrO_2$.

Показано [34], що при збереженні зразків стабілізованого ітрієм діоксиду цирконію спостерігається деградація структури, яка обумовлюється переходом c - і $t\text{-}ZrO_2$ в $m\text{-}ZrO_2$. Дослідження зразків $(ZrO_2)_{0.9}(Y_2O_3)_{0.1-x}(Fe_2O_3)_x$ методом РФА після зберігання їх на повітрі на протязі двох років показали, що фазовий склад їх з часом не змінюється. Стабільність структури залізовмісних ТР зі структурою тетрагонально викривленого флюориту при тривалому їх зберіганні показана також з допомогою Мессбаверової спектроскопії [14]. Ці факти свідчать про те, що часткове заміщення йонів Y^{3+} на Fe^{3+} сприяє стабілізації структури високотемпературного ZrO_2 в часі. Існують також уявлення [11], що деградація структури стабілізованого ітрієм діоксиду цирконію пов'язана з мартенситним $t\text{-}ZrO_2 \rightarrow m\text{-}ZrO_2$ -переходом, обумовленим адсорбцією води. Стабільність структури високотемпературного ZrO_2 в залізовмісних системах, вірогідно, можна пояснити зменшенням її гідрофільності, обумовленим утворенням сполуки $YFeO_3$.

4. ВИСНОВКИ

З використанням комплексу метод хемічної, рентгенофазової, повнопрофільної Рентгенової аналіз, атомово-абсорбційної спектрометрії та Мессбаверової спектроскопії вивчено вплив домішок Y^{3+} та Fe^{3+} та термічних умов синтезу на фазовий склад твердого розчину в системі $(ZrO_2)_{0.9}(Y_2O_3)_{0.1-x}(Fe_2O_3)_x$ та деякі його фізико-хімічні властивості. В розглянутому діапазоні складів і температур відпалення в системі діагностовано фази: $c\text{-}ZrO_2$ (основна), $m\text{-}ZrO_2$, $\alpha\text{-}Fe_2O_3$ та $YFeO_3$.

Встановлено, що Fe^{3+} підвищує ефективність Y_2O_3 як стабілізатора високотемпературних модифікацій ZrO_2 і забезпечує стабільність структури в часі внаслідок утворення $YFeO_3$.

Виходячи з кількісного представництва кожної із поліморфних модифікацій ТР діоксиду цирконію і вмісту в них заліза оцінено їх розчинну здатність та розраховано межу розчинності Fe^{3+} в них. Встановлено, що розчинність заліза в m -модифікації ТР приблизно в два рази вища, ніж в $c\text{-}ZrO_2$. Розчинність Fe_2O_3 в матриці ZrO_2 в інтервалі складів $x = 0\text{--}0,5$ становить 2 мол.%. Катіони заліза, розчинені в ґратниці ZrO_2 , локалізуються в октаедричній координації, яка утворюється як реакція ґратниці на зміну її зарядової електронейтральності в процесі ізоморфних заміщень $Zr^{4+} \rightarrow Fe^{3+}$. Нееквівалентність станів Fe^{3+} в структурі ZrO_2 пояснена впливом варіацій хемічного складу другої катіонної координаційної сфери на резонансний

йон.

Результати можуть бути корисні для вирішення прикладних задач, пов'язаних з синтезом і використанням матеріалів на основі діоксиду цирконію, легованого різним набором домішкових елементів, з розробкою фізичних моделей процесів, що лежать в основі роботи виробів з синтезованих матеріалів.

ЦИТОВАНА ЛІТЕРАТУРА

1. В. С. Богоцкий, Н. В. Осетрова, А. М. Скундин, *Электрохимия*, **14**, № 1: 102 (1978).
2. Д. С. Рутман, Ю. С. Торопов, С. Ю. Плинер, *Высокотемпературные материалы из диоксида циркония* (Москва: Металлургия: 1985).
3. Х. Янагида, *Тонкая техническая керамика* (Москва: Металлургия: 1986).
4. А. Г. Белоус, Е. В. Пашкова, А. Н. Макаренко, *Наносистемы, наноматериалы, нанотехнологии*, **1**, вип. 1: 85 (2003).
5. А. Б. Брик, М. Д. Глинчук, И. П. Быков и др., *Наноструктурное материаловедение*, № 1: 91 (2005).
6. Т. Е. Константинова, И. А. Даниленко, В. В. Токий и др., *Наносистемы, наноматериалы, нанотехнологии*, **2**, вип. 2: 609 (2004).
7. Ю. Н. Караваев, Е. И. Бурмакин, *Неорган. материалы*, **32**, № 1: 66 (1996).
8. N. Matsui and H. Takigawa, *Solid State Ionics*, **40**, No. 41: 926 (1990).
9. M. M. R. Boutz, A. J. A. Winnubst, F. Hartgers, and A. J. Burggraaf, *J. Mater. Sci.*, **29**: 5374 (1994).
10. S. P. S. Badwal, *Solid State Ionics*, **52**: 23 (1992).
11. В. И. Алексеенко, Г. К. Волкова, *Журн. техн. физики*, **70**, вып. 9: 57 (2000).
12. Ю. Н. Книпович, Ю. В. Марачевский, *Анализ минерального сырья* (Ленинград: Гос. науч.-техн. изд-во хим. лит-ры: 1956).
13. *Certificate of Analysis: Standard Reference Material 1976, Instrument Sensitivity Standard for X-Ray Powder Diffraction* (Gaithersburg: Natl. Inst. Of Standards and Technology: 1991), p. 1.
14. A. G. Belous, E. V. Pashkova, O. I. V'yunov, and V. P. Ivanitskii, *J. of Materials Science*, **40**: 5273 (2005).
15. Г. В. Новиков, *Метод анализа низкоразрешенных спектров* (Деп. ВИНТИ № 4112-Б87, 1987).
16. В. С. Русаков, *Изв. РАН. Сер. физ.*, **6**, № 7: 1389 (1999).
17. Г. А. Тетерин, Е. М. Менчук, Ф. К. Егоров и др., *Укр. хим. журн.*, **52**, № 7: 696 (1986).
18. F. J. Berry, M. H. Loretto, and M. R. Smith, *J. Sol. Stat. Chem.*, **83**, No. 1: 91 (1989).
19. А. Г. Белоус, Е. В. Пашкова, А. Н. Макаренко и др., *Неорган. материалы*, **40**, № 11: 1360 (2004).
20. G. Shirane, D. E. Cox, and S. L. Ruby, *Phys. Rev.*, **125**, No. 4: 1158 (1962).
21. M. Eibschutz, S. Shtrikman, and D. Treves, *Phys. Rev.*, **156**, No. 2: 562 (1967).
22. G. M. F. Bancroft, A. G. Maddoc, and R. G. Burus, *Geochim. et Cosmochim. Acta*, **37**, No. 1: 2219 (1970).
23. M. M. Nasrallah, *J. Electrochem. Soc.*, **121**, No. 2: 255 (1974).
24. Г. А. Ольховик, И. И. Наумов, Н. Н. Великохатный, *Неорган. материалы*,

- 29, № 5: 636 (1993).
25. Д. А. Зюзин, Э. М. Мороз, А. С. Иванова, В. И. Зайковский, *Неорган. материалы*, **36**, № 4: 447 (2000).
 26. А. Д. Неумин, А. Г. Котляр, С. Ф. Пальгуев и др., *Труды Института электрохимии УФ АН СССР*, вып. 12: 92 (1969).
 27. А. Г. Белоус, Е. В. Пашкова, А. Н. Макаренко, Б. С. Хоменко, *Неорган. материалы*, **33**, № 1: 52 (1997).
 28. К. К. Стрелков, В. И. Сумин, С. Ю. Плинер и др. *Самораспространяющийся высокотемпературный синтез. Трансформационное упрочнение огнеупорных материалов* (Свердловск: 1989).
 29. R. D. Shannon and C. T. Prewitt, *Acta Crystallogr., Sect. B*, **25**: 925 (1969).
 30. Е. П. Лукачина, В. И. Стеценко, И. В. Ермоленко, *Неорган. материалы*, **14**, № 1: 102 (1978).
 31. Q. Yamagudii, H. Takimura, and M. Yamashita, *J. Electrochem. Soc.*, **138**: 1492 (1991).
 32. M. L. Keth and R. Roy, *Amer. Miner.*, **39**: 1 (1954).
 33. Т. Б. Бокий, *Кристаллохимия* (Москва: Наука: 1971).
 34. А. Г. Белоус, А. Н. Макаренко, Е. В. Пашкова, Б. С. Хоменко, *Неорган. материалы*, **35**, № 11: 1341 (1999).